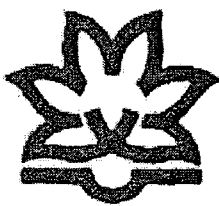




18V91P



دانشگاه اورمیه

دانشگاه فنی مهندسی-کروه مهندسی مکانیک

پایان نامه کارشناسی ارشد

گرایش تبدیل انرژی

عنوان:

بررسی روش‌های کاهش آلایندگی در موتورهای
اشتعال تراکمی پاشش مستقیم

دانشجو:

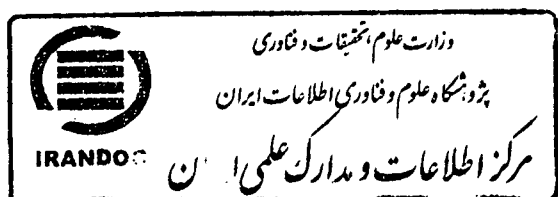
آرش نعمتی

اساتید راهنما:

دکتر شهرام خلیل آریا

دکتر صمد جعفر مدار

بهمن ماه ۱۳۸۹



۱۵۷۶۱۲

۱۳۹۰/۳/۲

پایاننامه آماده ارسان نموده به تاریخ ۸۹/۱۱/۹ شماره ۴۵۷ - ۱۰۰ مورد پذیرش هیات محترم

داوران با رتبه عالی و نمره بیست کام قرار گرفت.



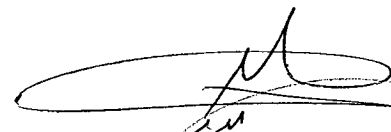
دکتر سعید اسگاری



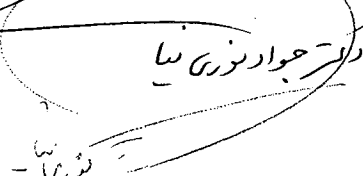
دکتر محمد غضین زاده



دکتر علی نصر

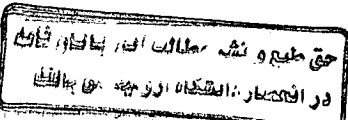


دکتر ارجمند میرزاei



دکتر جواد ناصری

- دکتر ناصری



سونولور

حالاً يمین ان بیت لی نعمت لریزند

حور منی آتا و عزرا آتا

تقدیر و تشکر

پاس دستايش برای او است به خاطر اطاف بیکرانش، همایه‌های روشنگری و محبت‌های بی‌دینش.

بر خود لازم می‌دانم از زحات استاد راهنمای ارجمند آقایان دکتر خلیل آریا و دکتر جعفر مدار به خاطر گفک‌های بی‌بی-

شانبه‌شان در انجام این پایان نامه، سیمانه تقدیر و تشکر نمایم.

از خانواده محترم که هر دلگرمی و امیدم به زندگی، هستند پا سکه‌دارم.

از استاد محترم گروه مکانیک دانشگاه اوریه که در دوره‌های کارشناسی ارشد از حضور شان فواید بسیار بروه ام تقدیر و تشکر می-

کنم.

در اینجا اداء از دوست عزیزم مهندس راین برزگر که در طی این مدت، گفک‌های برآداشان شامل حال من شد شکر

نمایم. هچنین از دوستان و همکاران خوبم مهندس وحید قمی، مهندس حسن خاتم‌زاده و آقای دکتر محمد جوادزاده که مطالعه

فراوانی از محضر شان آموختم شکر و قدردانی می‌نمایم.

و در نهایت از دوست عزیزم مهندس صمد مجیدی فرمانده کنم چراک تملی دوری غربت در دوران کارشناسی و کارشناسی

ارشد با حضور ایشان برایم سهل و آسان شد و تکیه کاهی برای پشت سر گذاشتند روزهای سخت برای من بودند.

به امیده اوم این دوستی هادر تمام مطلع نمذگی.

آرش نعمتی

چکیده

موتورهای اشتعال تراکمی به علت بازده گرمایی بالاتر نسبت به موتورهای اشتعال جرقه‌ای شناخته شده هستند. بنزین به علت تاخیر در اشتعال بالاتر نسبت به سوخت دیزل، آلاینده soot بسیار کمتری تولید می‌کند. استفاده از روش پاشش دو مرحله‌ای نیز منجر به کاهش مانع مگزین نرخ آزادسازی حرارت و در نتیجه کاهش آلاینده NO_x می‌گردد. در پایان نامه حاضر یک بررسی عددی روی یک موtor اشتعال تراکمی سنگین بنزین سوز Caterpillar 3401 توسط کد دینامیک سیالات محاسباتی AVL Fire انجام گرفته و نتایج شبیه سازی با نتایج تجربی مقایسه شده‌اند. تطابق خوبی بین نتایج مدل و داده‌های تجربی مشاهده می‌شود. تأثیر پارامترهای پاشش، من جمله طول دوره پاشش، زاویه اسپری سوخت، قطر سوراخ نازل، دمای سوخت پاشیده شده و تأثیر نرخ EGR روی احتراق و آلاینده موtor بررسی شدند. نتایج یک نقطه بهینه شده در پارامترهای پاشش و نرخ EGR برای کاهش همزمان آلاینده NO_x و soot همراه با کاهش ناچیز در IMEP را ارائه می‌دهند.

کلمات کلیدی: موتورهای اشتعال تراکمی، سوخت بنزین، کاهش آلاینده، دینامیک سیالات محاسباتی، شاخص‌های پاشش سوخت، بازخورانی گازهای خروجی

| | |
|--|--|
| عنوان..... | صفحه..... |
| I | چکیده |
| II | فهرست مطالب |
| VI | فهرست اشکال |
| V III | فهرست جداول |
| I X | علامی اختصاری |
| X | علامی یونانی |
| XI | زیرنویس‌ها |
| | |
| فصل اول: مقدمه و ساختار پایان‌نامه | ۱ |
| ۱ | ۱-۱ مقدمه |
| ۲ | ۲-۱ هدف پایان نامه |
| ۲ | ۲-۱ ساختار کلی پایان‌نامه |
| | |
| فصل دوم: کلیاتی در مورد موتورهای اشتعال تراکمی | ۳ |
| ۳ | ۱-۲ مقدمه |
| ۳ | ۲-۲ موتورهای اشتعال تراکمی |
| ۴ | ۴-۲-۱ تعاریف مربوط به عملکرد موتورهای اشتعال تراکمی |
| ۴ | ۴-۱-۲-۲ بازده |
| ۴ | ۴-۲-۱-۲-۲ توان |
| ۵ | ۵-۱-۲-۲ مصرف سوخت ویژه |
| ۵ | ۵-۱-۲-۲ فشار مؤثر متوسط |
| ۶ | ۶-۲-۲ انواع محفظه‌های احتراق در موتورهای اشتعال تراکمی |
| ۶ | ۶-۲-۲-۱ محفظه احتراق پاشش غیر مستقیم |
| ۷ | ۷-۲-۲-۲ محفظه احتراق پاشش مستقیم |
| ۸ | ۸-۲-۲ سیستم تزریق سوخت موتور اشتعال تراکمی پاشش مستقیم |
| ۸ | ۸-۲-۲-۱ انواع سیستم تزریق سوخت |
| ۱۴ | ۱۴-۲-۲-۲ انواع نازل‌ها |
| ۱۵ | ۱۵-۲-۲-۲ پاشش چند مرحله‌ای و منحنی پاشش سوخت |

| | | |
|----|---|----|
| ۱۷ | ۴-۲-۲ آلاینده‌های منتشره از موتورهای اشتعال تراکمی | ۱۷ |
| ۱۷ | ۱-۴-۲-۲ مقدمه | ۱۷ |
| ۱۸ | ۲-۴-۲-۲ آلاینده NO _x | ۱۸ |
| ۱۹ | ۲-۴-۲-۲ آلاینده SOOT | ۱۹ |
| ۲۲ | ۵-۲-۲ مدل‌های شبیه‌سازی فرآیند احتراق | ۲۲ |
| ۲۴ | ۱-۵-۲-۲ مدل‌های صفر بعدی | ۲۴ |
| ۲۶ | ۲-۵-۲-۲ مدل‌های تک بعدی | ۲۶ |
| ۲۷ | ۳-۵-۲-۲ مدل‌های احتراق چند بعدی | ۲۷ |
| ۲۸ | ۱-۳-۵-۲-۲ کدهای CFD معروف در زمینه شبیه سازی احتراق | ۲۸ |
| ۲۸ | ۱-۱-۳-۵-۲-۲ KIVA | ۲۸ |
| ۲۹ | ۲-۱-۳-۵-۲-۲ STAR-CD | ۲۹ |
| ۳۰ | ۳-۱-۳-۵-۲-۲ FIRE | ۳۰ |
| ۳۱ | ۳-۲ جمع‌بندی | ۳۱ |
| ۳۲ | فصل سوم: کاهش آلاینگی و مروری بر کارهای انجام یافته | ۳۲ |
| ۳۲ | ۱-۳ مقدمه | ۳۲ |
| ۳۳ | ۲-۳ بهینه‌سازی احتراق در موتورهای اشتعال تراکمی دیزلی معمول | ۳۳ |
| ۴۰ | ۳-۳ روش‌های نوین احتراق | ۴۰ |
| ۴۱ | ۱-۳-۳ احتراق HCCI | ۴۱ |
| ۴۱ | ۱-۱-۳-۳ مفهوم احتراق HCCI | ۴۱ |
| ۴۲ | ۲-۱-۳-۳ مشکلات بر سر راه توسعه احتراق HCCI | ۴۲ |
| ۴۲ | ۱-۲-۱-۳-۳ مشکل کنترل فاز احتراق | ۴۲ |
| ۴۳ | ۲-۲-۱-۳-۳ سطح بالای میزان سروصدای هیدروکربن‌های نسوخته و CO | ۴۳ |
| ۴۳ | ۳-۲-۱-۳-۳ محدوده عملکرد | ۴۳ |
| ۴۳ | ۴-۲-۱-۳-۳ آماده‌سازی مخلوط همگن | ۴۳ |
| ۴۶ | ۲-۳-۳ احتراق اشتعال تراکمی پیش آمیخته (PCCI) | ۴۶ |
| ۴۶ | ۳-۲-۳-۳ احتراق اشتعال تراکمی پیش آمیخته جزئی (PPC) | ۴۶ |
| ۵۱ | ۴-۳ سوختهای جایگزین | ۵۱ |
| ۵۴ | ۵-۳ جنبه جدید بودن کار حاضر | ۵۴ |
| ۴۴ | فصل چهارم: معادلات حاکم بر مدل | ۴۴ |
| ۵۰ | ۱-۴ مقدمه | ۵۰ |
| ۵۰ | ۲-۴ معادلات و مدل‌های حاکم بر مساله | ۵۰ |

| |
|--|
| ۱-۲-۴ معادلات مومنتوم، پیوستگی و انرژی ۵۰ |
| ۲-۴ مدل توربولانس ۵۶ |
| ۳-۲-۴ مدل‌های اسپری سوخت ۵۷ |
| ۱-۲-۴ مقدمه ۵۷ |
| ۲-۲-۴ معادلات اساسی ۵۸ |
| ۴-۴ مدل خوداشتعالی ۶۳ |
| ۵-۲-۴ مدل احتراق ۶۴ |
| ۶-۲-۴ مدل‌های آلایندگی ۶۵ |
| ۱-۶-۴ مدل تشکیل اکسیدهای نیتروژن (NO_x) ۶۵ |
| ۲-۶-۴ مدل تشکیل و اکسایش دوده ۶۷ |
| ۳-۴ روش گستته سازی معادلات ۶۸ |
| ۴-۴ محاسبه میدان فشار ۶۹ |
| ۵-۴ شرایط مرزی ۷۰ |
| ۱-۵-۴ انواع شرایط مرزی ۷۰ |
| ۱-۱-۵-۴ شرط مرزی دیوار ۷۰ |
| ۲-۱-۵-۴ شرط مرزی ورودی/خروجی ۷۲ |
| ۳-۱-۵-۴ شرط مرزی نقارن ۷۴ |
| فصل پنجم: شبیه‌سازی عددی ۷۵ |
| ۱-۰ مقدمه ۷۵ |
| ۲-۵ نحوه ایجاد شبکه سه بعدی ۷۵ |
| ۳-۵ شرایط اولیه ۷۸ |
| ۳-۵ شرایط مرزی ۷۸ |
| فصل ششم: بررسی و تحلیل نتایج مدل ۸۱ |
| ۱-۶ مقدمه ۸۱ |
| ۲-۶ نتایج مدل برای موتور اشتعال تراکمی با سوخت بنزین ۸۱ |
| ۱-۶-۱ معرفی موتور نمونه ۸۱ |
| ۲-۲-۶ بررسی استقلال از شبکه ۸۲ |
| ۳-۲-۶ بررسی صحت نتایج مدل حاضر با نتایج تجربی ۸۳ |
| ۳-۶ بررسی پارامتریک بر روی موتور اشتعال تراکمی بنزینی ۸۶ |
| ۱-۳-۶ تاثیر طول دوره پاشش ۸۶ |
| ۲-۳-۶ تاثیر زاویه اسپری سوخت ۸۸ |

| | |
|----------|---|
| ۹۱..... | ۳-۲-۶ تاثیر قطر سوراخ نازل..... |
| ۹۴..... | ۴-۳-۶ تاثیر دمای سوخت پاشیده شده |
| ۹۷..... | ۵-۳-۶ EGR تاثیر |
| ۹۸..... | ۵-۳-۶ ارائه نقطه عملکردی بهینه |
| ۱۰۰..... | فصل هفتم: نتیجه گیری کلی و پیشنهادات |
| ۱۰۰..... | ۱-۷ مقدمه |
| ۱۰۰..... | ۲-۷ نتیجه گیری کلی |
| ۱۰۱..... | ۳-۷ پیشنهادات برای کارهای آتی |
| ۱۰۲..... | منابع و مراجع |

فهرست اشکال

| | |
|--|------|
| عنوان..... | صفحه |
| شکل (۱-۲): انواع سیستم های احتراق موتور دیزل پاشش مستقیم. | ۷ |
| شکل (۲-۲): نمایی از سیستم تزریق سوخت ریل مشترک | ۹ |
| شکل (۳-۲): یک نمونه نازل سوخت پاشش ریل مشترک | ۱۰ |
| شکل (۴-۲): نمایی از سیستم تزریق سوخت واحد | ۱۱ |
| شکل (۵-۲): تزریق کننده واحد: نمایی از کترل پاشش سوخت | ۱۲ |
| شکل (۶-۲): پمپ تزریق واحد | ۱۳ |
| شکل (۷-۲): انواع نازل ها | ۱۴ |
| شکل (۸-۲): انواع هندسه سوراخ نازل | ۱۵ |
| شکل (۹-۲): منحنی نرخ پاشش سوخت چندگانه | ۱۶ |
| شکل (۱۰-۲): آلینده ها در موتورهای اشتعال جرقه ای | ۲۴ |
| شکل (۱۱-۲): پارامترهای استفاده شده درتابع wiebe | ۲۵ |
| شکل (۱۲-۲): تاثیر زمان جرقه زنی بر میزان مصرف سوخت و میزان آلیندگی | ۲۶ |
| شکل (۱-۳): نمایی از احتراق صورت گرفته در موتورهای دیزلی، بنزینی و HCCI | ۴۱ |
| شکل (۲-۳): مفاهیم جدید احتراق در دیاگرم نسبت اکیوالنسی بر حسب دمای موضعی مناطق | ۴۷ |
| شکل (۳-۳): تبدیل موتور HCCI به موتور PPC | ۵۰ |
| شکل (۳-۳): مقایسه میزان آلینده های NO _x و HC برای انواع مختلف احتراق موتورهای اشتعال تراکمی | ۵۰ |
| شکل (۴-۱): بررسی فشار سیلندر با استفاده مدل های K-E استاندارد و توسعه یافته | ۵۷ |
| شکل (۴-۲): نمایی از رشد ناپایداری در سطح جت مایع بر اساس مدل KH | ۵۹ |
| شکل (۴-۳): ناپایداری RT بر روی یک قطره مایع | ۵۹ |
| شکل (۴-۴): برخورد قطره با دیواره | ۶۰ |
| شکل (۴-۵): انواع متعدد حجم کترول مورد استفاده در نرم افزار Fire در ایجاد شبکه | ۶۹ |
| شکل (۱-۵): نمایی از شبکه سه بعدی ایجاد شده در نقطه مرگ پایین | ۷۶ |
| شکل (۲-۵): نمایی از شبکه سه بعدی ایجاد شده در نقطه مرگ بالا | ۷۷ |
| شکل (۳-۵): معرفی مرزهای مش متحرک | ۷۸ |
| شکل (۱-۶): فشار متوسط داخل سیلندر برای شبکه های ساخته شده | ۸۳ |
| شکل (۲-۶): مقایسه نمودار فشار بین نتایج مدل و داده های تجربی در دو زمان پاشش -۶ و -۸ درجه بعد از نقطه مرگ بالا | ۸۴ |
| شکل (۳-۶): مقایسه نمودار نرخ آزادسازی حرارت بین نتایج مدل و داده های تجربی در چهار زمان پاشش -۶ و -۸ درجه بعد از نقطه مرگ بالا | ۸۴ |

| | |
|--|----|
| شکل (۴-۶): مقایسه نمودار آلاینده NO_x بین نتایج مدل و داده‌های تجربی در چهار زمان پاشش -۸، -۶، -۴ و -۲ درجه بعد از نقطه مرگ بالا..... | ۸۵ |
| شکل (۵-۶): مقایسه نمودار آلاینده soot بین نتایج مدل و داده‌های تجربی در چهار زمان پاشش -۸، -۶، -۴ و -۲ درجه بعد از نقطه مرگ بالا..... | ۸۵ |
| شکل (۶-۶): فشار داخل سیلندر برای تغییرات طول دوره پاشش..... | ۸۶ |
| شکل (۷-۶): دمای داخل سیلندر برای تغییرات طول دوره پاشش..... | ۸۷ |
| شکل (۸-۶): تغییرات IMEP و ISFC با تغییر در طول دوره پاشش..... | ۸۸ |
| شکل (۹-۶): تغییرات NO_x و soot با تغییر در طول دوره پاشش..... | ۸۸ |
| شکل (۱۰-۶): کانتور سرعت داخل سیلندر و زاویه پاشش سوخت..... | ۸۹ |
| شکل (۱۱-۶): منحنی فشار متوسط داخل سیلندر بر حسب درجه میل لنج برای تغییرات زاویه اسپری سوخت..... | ۸۹ |
| شکل (۱۲-۶): منحنی دمای متوسط داخل سیلندر بر حسب درجه میل لنج برای تغییرات زاویه اسپری سوخت..... | ۹۰ |
| شکل (۱۳-۶): میزان آلاینده NO_x و soot خروجی برای تغییرات زاویه اسپری سوخت..... | ۹۰ |
| شکل (۱۴-۶): منحنی تغییرات IMEP و ISFC با تغییر زاویه اسپری سوخت..... | ۹۱ |
| شکل (۱۵-۶): منحنی فشار متوسط داخل سیلندر بر حسب درجه میل لنج برای تغییرات قطر سوراخ نازل..... | ۹۲ |
| شکل (۱۶-۶): منحنی دمای متوسط داخل سیلندر بر حسب درجه میل لنج برای تغییرات قطر سوراخ نازل..... | ۹۲ |
| شکل (۱۷-۶): تغییرات میزان آلاینده‌های NO_x و soot با تغییر قطر سوراخ نازل..... | ۹۳ |
| شکل (۱۸-۶): منحنی تغییرات IMEP و ISFC با تغییر قطر سوراخ نازل..... | ۹۳ |
| شکل (۱۹-۶): منحنی فشار متوسط داخل سیلندر بر حسب درجه میل لنج برای تغییرات دمای اولیه سوخت..... | ۹۴ |
| شکل (۲۰-۶): منحنی دمای متوسط داخل سیلندر بر حسب درجه میل لنج برای تغییرات دمای اولیه سوخت..... | ۹۴ |
| شکل (۲۱-۶): تغییرات میزان آلاینده‌های NO_x و soot با تغییر دمای سوخت پاشیده شده..... | ۹۵ |
| شکل (۲۲-۶): تغییرات میزان IMEP و ISFC با تغییر دمای سوخت پاشیده شده..... | ۹۵ |
| شکل (۲۳-۶): منحنی فشار متوسط داخل سیلندر بر حسب درجه میل لنج برای تغییرات درصد EGR..... | ۹۶ |
| شکل (۲۴-۶): منحنی دمای متوسط داخل سیلندر بر حسب درجه میل لنج برای تغییرات درصد EGR..... | ۹۶ |
| شکل (۲۵-۶): تغییرات میزان آلاینده‌های NO_x و soot با تغییر درصد EGR..... | ۹۷ |
| شکل (۲۶-۶): تغییرات میزان IMEP و ISFC با تغییر درصد EGR..... | ۹۸ |
| شکل (۲۵-۶): مقایسه آلاینده NO_x و IMEP بین حالت پایه و بهینه شده..... | ۹۹ |
| شکل (۲۵-۶): مقایسه آلاینده soot بین حالت پایه و بهینه شده..... | ۹۹ |

فهرست جداول

| | |
|---|-----------|
| عنوان..... | صفحه..... |
| جدول (۱-۲): مشخصات سامانه احتراقی موتورهای دیزل رایج..... | ۸ |
| جدول (۲-۲): تقسیم بندی سوخت ها با توجه به فرمول مولکولی | ۲۰ |
| جدول (۱-۵): شرایط اولیه در مدلسازی | ۸۲ |
| جدول (۱-۶): مشخصات موتور | ۸۶ |
| جدول (۲-۶): مشخصات سیستم پاشش موتور | ۸۶ |

علامی اختصاری

| | |
|----------------------------|---------------------------------|
| <i>BSFC</i> | صرف سوخت ویژه ترمزی [gr/kw.hr] |
| <i>ISFC</i> | صرف سوخت ویژه اندیکه [gr/kw.hr] |
| <i>MEP</i> | فشار موثر متوسط [Bar] |
| <i>TDC</i> | نقطه مرگ بالا |
| <i>BDC</i> | نقطه مرگ پایین |
| <i>CA or CAD</i> | زاویه میل لنگ |
| <i>E_a</i> | انرژی اکتیو اسیون [J] |
| <i>H.R.R</i> | آهنگ آزادسازی انرژی [J/deg] |
| <i>Initial Pressure</i> | فشار اولیه [Pa] |
| <i>Initial Temperature</i> | دما اولیه [K] |
| <i>k</i> | ثابت واکنش |
| <i>m</i> | جرم [kg] |
| <i>M</i> | وزن مولکولی |
| <i>R</i> | ثابت جهانی گاز [J/mol.k] |
| <i>Re</i> | عدد رینولدز |
| <i>rpm</i> | دور موتور [rev/min] |
| <i>T</i> | دما [K] |
| <i>u</i> | سرعت [m/s] |
| <i>D</i> | قطر [m] |
| <i>We</i> | عدد ویر |
| <i>Z</i> | عدد آنسورگ |
| <i>C_D</i> | ضریب درگ |
| <i>A</i> | مساحت [m ²] |
| <i>P</i> | فشار [Pa] |
| <i>t</i> | زمان [s] |
| <i>R</i> | ثابت جهانی گاز [J/mol.k] |
| <i>Re</i> | عدد رینولدز |

علامیونانی

| | |
|---------------|--|
| α | ضریب انتقال حرارت جابجایی [$J/m^2.K$] |
| β | ثابت تجربی و زاویه انعکاس |
| ρ | چگالی [kg/m ³] |
| ϕ | نسبت اکی والانس |
| μ | لزجت [Pa.s] |
| ε | ضریب صدور گاز |
| τ_R | مشخصه زمانی اختلاط توربولانس |
| σ | کشش سطحی |
| λ | نسبت هوای اضافی |

زیرنویس‌ها

| | |
|-------------|-----------------|
| <i>fu</i> | سوخت |
| <i>i</i> | بردار یکه مکانی |
| <i>rel</i> | نسبی |
| <i>cell</i> | شبکه |
| <i>ox</i> | اکسیژن |
| <i>l</i> | مایع |
| <i>g</i> | گاز |

فصل اول

مقدمه و ساختار پایان نامه

۱-۱ مقدمه

موتورهای احتراق داخلی به خاطر کاربرد وسیع شان در صنعت حمل و نقل و همچنین قابلیت تولید قدرت زیاد نسبت به حجم همواره از اهمیت بالایی برخوردار بوده‌اند. با توجه به افزایش روز افزون جمعیت و استفاده هر چه بیشتر از وسائل نقلیه، بحث در خصوص صرفه‌جویی انرژی در سالهای اخیر اهمیت ویژه‌ای یافته است. در زمینه موتورهای احتراق داخلی نیز همانند شاخه‌های دیگر علم، طراحان و سازندگان بسختی بدنبال افزایش بازده موتور و کاهش آلاینده‌های ناشی از مصرف سوختهای فسیلی می‌باشند.

آینده بشر همواره توسط آلاینده‌های خروجی از سیستم‌های انرژی مورد تهدید قرار داشته است. از طرف دیگر انسان برای رفع نیازهای خود ناگزیر به استفاده از سیستم‌های انرژی می‌باشد. بنابراین همواره به دنبال کاهش تولید آلاینده‌ها توسط این سیستم‌ها بوده است. موتورهای احتراق داخلی نیز از جمله منابع تولید آلاینده‌ها به حساب می‌آیند. مهمترین آلاینده‌های تولیدی توسط موتورهای اشتعال تراکمی NO_x و soot می‌باشند که برای کاهش تولید آلاینده‌ها باید دلیل و میزان تولید آنها را به دقت بررسی کرد [۱].

عموماً پژوهش‌های آزمایشگاهی مبنای اساس پیشرفت و بهینه‌سازی طراحی موتورها را تشکیل می‌دهد که با صرف هزینه‌های بالا به انجام می‌رسد. در دهه‌های اخیر، با پیشرفت کامپیوترها و امکان انجام آنالیزهای عددی، روش جدیدی برای طراحی موتورهای احتراق داخلی ابداع شده است که آن را شبیه‌سازی می‌نامند.

شبیه‌سازی باعث کاهش در هزینه، کاهش ضایعات، کاهش نیروی کاری، صرفه‌جویی در وقت و کاهش فضای مورد نیاز می‌شود. از ابتدای شروع تحقیقات به کمک شبیه‌سازی تاکنون، پیشرفت‌های اساسی در زمینه مدل کردن فرآیندهای مختلفی که

در موتورهای احتراق داخلی اتفاق می‌افتد بوجود آمده است.

۱-۲ هدف پایان‌نامه

در این پایان‌نامه تلاش شده است تا مزوری بر روش‌های نوین در کاهش آلایندگی در موتورهای اشتعال تراکمی صورت گرفته و یکی از این روش‌ها با جزئیات کامل مورد تحقیق و بررسی قرار گیرد و یافته‌های جدیدی در زمینه کاهش آلایندگی ارائه گردد. بدین منظور از روش دینامیک سیالات محاسباتی (CFD) و نرم‌افزار AVL Fire برای مدل کردن میدان‌های جریان درون محفظه احتراق استفاده شده است.

۱-۲ ساختار کلی پایان‌نامه

در این پایان‌نامه، پس از توضیحاتی در مورد موتورهای اشتعال تراکمی، در فصل سوم به بررسی روش‌های کاهش آلایندگی در موتورهای اشتعال تراکمی و مزوری بر کارهای انجام شده قبلی پرداخته می‌شود. در فصل چهارم به بررسی معادلات حاکم بر جریان سیال و فرآیند احتراق و همچنین معادلات حاکم بر تولید آلایندگان پرداخته می‌شود. در فصل پنجم نحوه مدلسازی صورت گرفته بر روی محفظه احتراق موتور و روش‌های انجام کار، مورد بررسی قرار می‌گیرد. مراحل شبیه‌سازی فرآیندهای تراکم، احتراق و انبساط در این فصل مورد مطالعه قرار خواهد گرفت. در فصل ششم به بررسی توابع حاصل از شبیه‌سازی و مقایسه آن با مقادیر تجربی و تاثیر پارامترهای مختلف موتور بر روی فرآیند احتراق و تولید آلایندگان موتور اشتعال تراکمی سنگین مدل Caterpillar 3401 با سوخت بنزین پرداخته می‌شود. برای این منظور، از کد نرم‌افزاری AVL Fire که بصورت دینامیک سیالات محاسباتی (CFD) به مدلسازی میدان جریان در داخل محفظه احتراق می‌پردازد، استفاده شده است. نهایتاً در فصل هفتم نتیجه‌گیری کلی و ارائه پیشنهاداتی برای کارهای آتی آورده شده است.

فصل دوم

کلیاتی در مورد موتورهای اشتعال تراکمی

۱-۲ مقدمه

امروزه موتورهای احتراق داخلی کاربرد فراوانی در زندگی بشر دارند. هدف از به کارگیری موتور احتراق داخلی تولید توان مکانیکی از انرژی شیمیایی نهفته در سوخت می‌باشد. در این موتورها انرژی شیمیایی توسط سوختن یا اکسیداسیون سوخت در داخل یک محفظه احتراق آزاد می‌شود. مخلوط سوخت-هوای قبل از احتراق و محصولات سوخته شده بعد از احتراق سیال عامل حقیقی را تشکیل می‌دهند. انتقال کار که قدرت خروجی مطلوب را ایجاد می‌کند، به طور مستقیم بین سیال عامل و تجهیزات مکانیکی موتور صورت می‌گیرد. موتورهای احتراق داخلی به خاطر دوام زیاد و قابلیت تولید قدرت بالا نسبت به حجمشان از اهمیت خاصی برخوردار بوده‌اند.

۲-۱ موتورهای اشتعال تراکمی

موتور اشتعال تراکمی یک موتور احتراق داخلی است که برای اولین بار توسط یک مهندس آلمانی به نام ۱۸۹۲ دکتر رادلف دیزل^۱ (۱۸۵۸-۱۹۱۳) در سال ۱۸۹۲ میلادی معرفی شد. نظریه او در مورد شروع کردن احتراق توسط پاشش یک سوخت مایع در هوایی که با متراکم شدن گرم شده است، بازدهی را تا دو برابر دیگر موتورهای احتراق داخلی افزایش داد. نسبت تراکم خوبی بیشتر بدون پیش اشتعالی یا کوبش در این موتورها امکان پذیر بود. در موتور اشتعال تراکمی رایج، در مرحله تراکم فقط هوا متراکم می‌شود تا اینکه دما به اندازه دمای احتراق سوخت افزایش یابد، سپس سوخت به داخل سیلندر

^۱ Rudolf Diesel

پاشیده می‌شود تا احتراق صورت گیرد و پیستون را تحریک کند. در این بخش به طور خلاصه به بررسی موتور اشتعال تراکمی و نحوه عملکرد آن می‌پردازیم [۱و۲].

۱-۲-۲ تعاریف مربوط به عملکرد موتورهای اشتعال تراکمی

در این بخش مشخصات عملکرد معمول موتورهای اشتعال تراکمی برای مشخص کردن کارایی و عملکرد آنها بیان شده است [۳].

۱-۲-۲ بازده

در ترمودینامیک، بازده فرآیند چرخه‌ای (فرآیندی که بر توده‌ای از مواد اثر می‌گذارد و آن را به حالت اولیه‌اش برمی‌گرداند)، به صورت زیر تعریف می‌شود:

$$\eta = \frac{W}{Q} \quad (1-2)$$

در رابطه بالا:

۷: بازده،

W : کار مفید بر حسب (J) و

Q : گرمائی که طی فرآیند به درون سیلندر جریان می‌یابد بر حسب (J) می‌باشد.

در موتورهای احتراق داخلی با سوختن سوخت درون محفظه احتراق، گرما درون موتور آزاد می‌شود.

۱-۲-۲-۱ توان

اگر گرمای احتراق در جرم واحد سوخت را با Q_c نشان دهیم، مقدار توان تولید شده در موتور با رابطه زیر تعریف می‌شود:

$$P = \eta \cdot \dot{m}_f \cdot Q_c \quad (2-2)$$